## АКАДЕМИЯ НАУК АРМЯНСКОЙ ССР АСТРОФИЗИКА

**TOM 18** 

ФЕВРАЛЬ, 1982

выпуск 1

YJK 524 77+524.8

# ИЗОЛИРОВАННЫЕ ТРИПЛЕТЫ ГАЛАКТИК. ВИРИАЛЬНЫЕ ОТНОШЕНИЯ МАССА—СВЕТИМОСТЬ

В. Е. КАРАЧЕНЦЕВА, И. Д. КАРАЧЕНЦЕВ Поступила 12 сентября 1980 Понията к печаты 5 декабря 1981

Для 41 триплета галактик с измеренными лучевыми скоростями каждого компонента приведены. дисперсия скоростей, линейный размер, интегральная светимость, вириальная масса и отношение вириальной массы и светимости. Аналогичиме величины определены для выборки моделированных триплетов, составленной в результате применения того же критерия изолированности тройной системы в видимому распределению галактик врче 15.47, построенному на ЭВМ методом случайных испытаний. Сравнение втих двух выборок обмаруживает неомиданно большое число ложимых триплетов. Врчайших членом одной группы талактик или членов разных систем), размеры, дисперсия ско ростей и вприальные массы которых близки к соответствующим параметрам реальных триплетов из списка [1]. Обсумдается проблема, вак отличать физические триплеты намех характеристики триплетов. После исключения ложных тройных систем нажими предполагаемые физические триплеты инеют следующие средние физические параметры линейный размер — 50 кпс, пекулярную скорость членов — 70 км/с, суммарную светимость — 70 км/с, сумм

1. Введение. В настоящей работе мы продолжаем публикацию результатов, полученных для изолированиых триплетов галактик из списка [1]. Новые значения лучевых скоростей компонентов 54-х тройных систем [2] вместе с известными ранее для десяти [3—8] дают возможность определить вириальные массы и отношения масса—светимость для достаточно большой выборки триплетов галактик. Как было отмечено в [2], часть (35%) систем списка нельзя считать физическими триплетами. Три системы являются полностью оптическими (взаимные разности дучевых скоростей компонентов превышают 500 км/с), а 20— частично оптические—состоят из пары галактик с близкими значениями лучевых скоростей проектирующегося третьего компонента (они обозначены как «2+1»).

Эдесь мы рассмотрим триплеты, которые в первом приближении можно считать физическими (взаимные разности лучевых скоростей компонентов  $\Delta V_{ij} < 500$  км/с). Весь исходный материал содержится п работах [1—8].

2. Сводка вириальных масс и отношений массы к светимости. Вириальные массы пычислялись по формуле, приведенной в [9].

$$\mathfrak{M} = 3\pi \gamma^{-1} \frac{n}{n-1} \Delta V^2 + \overline{R}, \tag{1}$$

где  $n=3,\,\gamma$ — гравитационная постоянная,  $\Delta V_r^2$   $^{1/2}$ — средняя кнадратичная дученая скорость галактик относительно среднего для системы. R— среднее гармоническое расстояние между компонентами триплета в проекции.

Формула (1) дает нескорректированную оденку массы тройной системы, полученную в предположениях, что все компоненты триплета имеют одинаковую массу, а ошнбки измерений лучевых скоростей равны нулю. Построенная нами зависимость между пекулярной скоростью и светимостью не показывает сегрегации галактик в триплетах по светимости, поэтому взвешивания по массам (светимостям) мы не проводили. Дополнительные расчеты показали, что взвешивание несущественно уменьшает значение вириальной массы. Учет ошибок измерения лучевых скоростей дает несмещенную оценку массы,  $\mathfrak{M}_{\rm cur}$ . Она вычислялась по формуле

$$\mathfrak{M}_{eff} = 3 = -i \frac{n}{n-1} \left[ \langle \Delta V_e^2 \rangle - \frac{2}{3} \langle a_{\Delta V_e}^2 \rangle \right] \tilde{R}$$
 (2)

где  $3_{1/2}^3$  — средняя квадратичная ошибка измерений лучевых скооостей.

Светимости вычислялись при  $M_{\odot}=5.40$  с учетом поправок за галактическое поглощение и красное смещение. В отличие от работы [2], где абсолютные величины определялись по индивидуальной лучевой скорости компонента, здесь использовано среднее значение лучевой скорости триллета ( $V_0$ ) при постоянной Хаббла  $H_0=75$  км с/Мпс.

Проекции линейных расстояний вычислялись по (  $V_{\rm c}$  и угловым расстояниям, измеренным на картах Паломарского атласа (кроме Т 1 и Андромеде, расстояние до которого принято равным 690 кпс).

Данные для 41 триплета (назовем их каталожными триплетами) приводятся в табл. 1. Обозначения столбцов следующие: 1— номер триплета, 2— тип конфигурации, 3— критерий изолированности (все по [1]), 4— средняя исправленная лучевая скорость  $V_0$  в км/с (по [2—8]), 5—

Ta6.1444 1 ВИРИАЛЬНЫЕ МАССЫ И ОТНОШЕНИЯ МАССА—СВЕТИМОСТЬ КАТАЛОЖНЫХ ТРИПЛЕТОВ

каталломных триплетов								
No 17p.	Тип конф.	Крите- рий	(V <sub>0</sub> ),	ΔV <sup>2</sup> ; πm/c	R.	(101° M;	∫ (∫ <sub>⊕</sub> )	1.(10)
1	2	3	4	5	6	7	8	9
1	т	+++	-13	35	7.1	2.8	1.2	1.1
2	D	+++	5425	84	31.2	72.4	10.8	8.3
3	Т	+++	1881	184	30.9	344.0	72.6	64.7
4	D	+++	5519	163	31.2	273.1	11.5	41.2
11	D	++-	4943	49	65.2	51.4	18.5	15.4
12	T	+++	6276	93	76.9	218.5	34,0	29.9
14	D	+++	6097	36	21.6	9.2	2.3	-0.7
15	T	+++	7335	130	57.7	320.3	45.5	39.0
16	T	+++	3882	58	136.4	150.7	49.4	42.6
21	D	-+-	4167	88	15.3	38.9	20.9	19.7
22	D	+++	1794	61	21.0	25.6	22.5	21.2
23	т	4++	1720	98	14.1	44.4	43.3	33.4
25	L	++-	1421	155	36.6	288.7	175.0	160.2
26	D	+	1425	54	333_3	319.3	152.3	130.6
28	T	+++	210	127	39.0	206.4	152.8	152.5
31	T	+++	7397	51	136 4	116.5	26.6	17.4
33	Т	+++	845	212	24.8	366.0	58.1	57.4
34	T	+++	7433	100	272.7	895.9	69.0	65.6
36	T	+++	7166	66	17.0	24.2	6.5	2.0
38	L	+++	5001	164	51.7	457.0	101.8	92.8
39	T	-34	3129	60	33.3	39.4	9.0	5.0
41*	T	+++	7584	151	36.1	270.7	33.5	31.3
42**	Т	-++	3904	96	33.0	99.8	17.9	12.2
43	Т	-++	6748	125	36.1	185.5	45.9	44.3
44	D	+- +	10989	130	93.8	520.5	48.4	45.3
45	T	+++	4777	98	43.5	137.1	30.1	29.8
-16	L		6186	137	150.0	924.8	211.6	197.5
48	D	++	6881	53	71.4	65.9	16.9	11.5
50	D	+	2554	407	24.2	1316.3	143.1	140.8
51	ı.	+++	6123	136	45.4	276.2	45.0	42.4
54	Т	+++	1653	120	33.3	157.7	82.2	75.4

Таблица 1 (окончание)

1	2	3	4	5	6	7	8	9
55	D	++-	1557	91	34.1	92.7	54.6	35.7
61	T	+++	8483	114	31.2	133.4	24.3	22.0
62	D	+	2069	229	17.5	302.2	175.7	158.5
70	T	+++	4189	68	1.18	123.2	49.4	45.5
71	Т	+-+	4841	181	142.9	1537.5	175.7	173.5
78	T	+++	5118	76	76.9	146.0	22.5	-35.9
80	Т	+++	714	102	166.7	569.4	8.101	459,5
81	D	+++	4447	128	55.6	299.0	46.2	43.5
82	D	++	4546	26	41.1	9.1	0.8	-2.8
83	D	+++	8803	385	41.7	2029.0	165.8	160.2

среднеквадратичная пекулярная скорость  $\Delta V^{3-1/2}$  в км/с, 6— среднее гармоническое расстояние между компонентами триплета в проекции R в кпс, 7—масса триплета в единицах  $10^{10}~\mathrm{M}_\odot$ , 8—отношение масса светимость f в единицах f, 9— несмещениое значение отношения

масся- светимость / в единицах / ..

Как пидно из таба. 1, диапазон значений масс и отношений масса—светимость у каталожных триплетов довольно широк (3  $\div$  2000) |  $10^{10} \mathfrak{M}_{\odot}$  и (1 500) $f_{\odot}$ . У 25°/ $_{0}$  ныборки значения f составляют > 100, у 66°/ $_{0}$  — от 1 до 50, остальные 9°/ $_{0}$  имеют f в интервале (50 100) f .

Отметим тот факт, что из десяти триплетов с f > 100 по крайней мере три (Т 25, Т 26, Т 28) входят в известные группы галактик и еще пять (Т 46, Т 50, Т 62, Т 71 и Т 83) характеризуются слабым выполнением критерия изолированности, что говорит о наличии в их близких окрестностях галактик сходных угловых размеров.

Это приводит нас к предположению, что завышенное значение отношения масса—светимость по срашнению со средним имеют триплеты, входищие в системы более высокой кратности, и именио вто обстоятельство является основной причиной наблюдаемого асимметричного распределения каталожных триплетов по f. Прямую проверку втого предположения нельзя осуществить из-за недостатка данных о лучевых скоростих галактых вблизи изученыму тройных систем. С другой стороны, трудно определить, какая часть каталожных триплетов является результатом случайного про-

<sup>&</sup>quot;Триплеты 50 и 83 мы включили в рассмотрение как крайние случав. У Т 50 ис выполняется критерий изолированности для днух компонентов и разность учевых скоростей больше принятой нами; у Т 83 также велика разность лучевых скоростей компо нентов, но критерий выполняется для всех трех членов.

ектирования на луч зрения галактик из разных систем. Поатому мы рассмотрели ситуацию с вириальными массами триплетов, используя результаты моделирования пидимого распределения галактик до предела 15°7.

Процедура моделирования была подробно описана в [10], а применение к каталогам изолированных и двойных галактик в [11, 12].

3. Моделированные триплеты залактик. В данном случае критерии изолированного триплета [1] был применен к 127 смоделированным «картам Паломарского атласа» с учетом реального фона более слабых галактик. Для каждой галактики в модели были, в частности, заданы: прямочеольные координаты в минутах дуги, видимая величина, лучевая скорость, угловой диаметр, а также индекс принадлежности к системе («одлночная», «двойная», «тройная», «скопление»).

113 9433 моделированных галактик критерий выделил 213, входящих в 71 триплет, что составляет 0.022 от полного числа моделированных галактик до 15<sup>m</sup>7.

Список моделированных триплетов был составлен аналогично списку [1]. Определялись взаимные расстояния, тип конфигурации и выполнение критерия изолированности. Основные параметры моделированных триплетов и характеристики отдельных компонентов вычислялись так же, как и для реальных, каталожных троиных систем.

Рассмотрим подробнее характеристики моделированных триплетов. Из общего числа 9433 галактик членами троиных систем оказались 1465, т. с. 15.5% (в модели [10] задано 15% троиных). Из них в выборке ярче 15<sup>m</sup>7 были представлены:

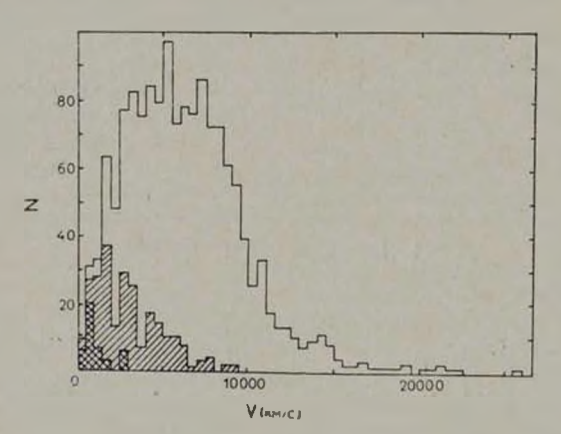
одини компонентом 1  $\times$  1213 = 1213 галактик, т.е. 82.8%, двумя компонентами 2  $\times$  105 = 210 галактик, т.е. 14.3%, тоемя компонентами 3  $\times$  14 = 42 галактики, т.е., 2.9%,

Распределение моделированных «тройных» галактик по лучевым скоростям приведено на рис. 1. Среднее значение соответствует лучевой скорости порядка 5000 км/с, т. е. глубина выборки примерно та же, что и для галактик каталога [3]. Однако обращает на себя внимание сегрегация по лучевым скоростям у галактик, попадающих и эту выборку одним, двуме и тремя компонентами. Из-за широты исходной функции светимости, принятой в модели, а также из-за фотометрического предела, попасть в выборку всеми тремя членами могут самые близкие триплеты. К этому вопросу мы вернемся, сравнивая характеристики каталожных и моделированных триплетов,

Таким образом, безотносительно к условию изолированности, имеет место сильный аффект избирательности в глубину, обусловленный фотометрическим пределом выборки и широтой функции светимости галактик.

После применения критерия изолированности в списке моделированных триплетов из 14 «истинных» тройных систем осталось только 5. Неожиданным оказалось большое число ложных триплетов, удовлетворивших условию изолированности. В этом списке содержится 31 триплет, все три члена которых пходят в одну группу. 35 триплетов предстанляют собой смесь членов систем различной кратности\*.

Критерий не выделил в модели ни одного триплета, все члены которого относятся к одному скоплению, что естественно объясняется повышенной плотностью галактик сходных угловых размеров в скоплениях.



 Распределение 1465 моделированных «тройных» галактик по лучевым скоростим.
Двойная штриховка — моделированные триплеты, представленные в выборке тремя компонентами, косая штриховка — моделированные триплеты, попавшие в выборку двумя компонентами. Тройные, попавшие в выборку одини компонентом, ис заштрихованы.

Как и при составлении реального списка [1], на атапе применения критерия к моделированным галактикам мы не учитывали сведений о лученых скоростях компонентов. После того, как список моделированных триплетов был составлен, был процеден отбор по лучевым скоростям. Из 71 моделированного тринлета полностью оптических оказалось 5, систем «2+1» (частично оптических) — 21, остальные 45 характеризуются такой же (= 500 км/с) разностью лучевых скоростей компонентов, что и предполагаемые физические в списке [1]. Таким сбразом, соотношение между

В их число входят: «двопи + др. 12, «троин.» + др. 7, «группы» + др. 10, -скопа + др. 1 (здесь в навъдчиза обозначены два члена моделированной системы в триплете); у 5 триплетов все три компонента принадлежат разным системам.

оптическими, частично оптическими и предполагаемыми физическими триплетами у каталожных и моделированных триплетов примерно одинаково (каталог 0.05:0.31:0.64 и модель 0.07:0.30:0.63).

Близки также распределения каталожных и моделированных триплетов по типам конфигураций, представленные в табл. 2.

Таблица 2 РАСПРЕДЕЛЕНИЕ ТРИПЛЕТОВ ПО ТИПАМ КОНФИГУРАЦИИ

Тип жонфи-	Каталожные	о триплеты	Моделированные триплеты		
гурация по [1]	Весь списов (n = 84)	Физ. трипл. (n 41)	Весь списов (л = 71)	Физ. трипл (п. 45)	
"D" (Double)	38	37° o	44.5%	31 %	
"T" (Triangle)	49	53	36	49	
"L" (1 inc)	13	10	20	20	

Из данных табл. 2 видно, что не наблюдается избытка ожидаемого устойчивого типа конфигурации (« $D_*$ ) у реальных, каталожных триплетоз по сравнению с моделированными. Это косвенно подтверждает, что истинное число физических триплетов невелико.

4. Сравнительные характеристики каталожных и моделированных триплетов. Средние параметры триплетов списка [1] и моделированных триплетов представлены в табл. 3—5 (указаны ошибки среднего). Каталожные триплеты сравнивались с моделированными, прошедшими критерий изолированности, а также с моделированными «истинно» тройными системами, не прошедшими принятый критерий. Рассмотрим вначале последние. Как видно из данных табл. 3, не удовлетворили критерию те триплеты, куда входят близкие (  $V=700\,\mathrm{km/c}$ ) карликоные (  $L=0.2\cdot10^{10}\,L_{\odot}$ ) галактики. Это и понятно, поскольку такие объекты должны теряться на общем фоне галактик, тем более, что они имеют в среднем в  $1.5\div2$  разл большие взаимные расстояния, чем моделированные тройные, прошедшие критерий. Низкая светимость триплетов атой подвыборки и является, винамо, причиной их завышенного значения отношения масса—светимость.

Рассмотрим теперь моделированные триплеты, прошелише принятый критерий изолированности. Как упоминалось выше, они содержат «истинно» тройные системы, а также состоят либо из членов некоторой моделированной группы, либо из представителей систем различной кратности. При втом «истипно» тройные моделированные триплеты составляют всего 11% (5/45) от полного их числа.

В табл. 3 приведены данные для триплетов, отобранных только по ограничению лучовых скоростей (\$\infty\$500 км/с). Сравнение характеристик, содержащихся в первых трех строчках табл. 3, показывает, что для ката-

дожных триплетов они мало отличаются от соответствующих средних значении моделированных триплетов. Однако видно, что реальные триплеты в среднем существенно ярче моделированных. Как было показано выше, критерий работает в сторону уярчения выборки, обрезая самые слабыстриплеты.

 $T_{a\delta,iuya}$  J СРЕДНИЕ ПАРАМЕТРЫ КАТАЛОЖНЫХ И МОДЕЛИРОВАННЫХ ТРИПЛЕТОВ ГАЛАКТИК ( $2V_{IJ}$  500 КМ/С)

	Триплеты из [1]	Моделиро	Моделирован-		
Параметр	"каталожные" (n 41)	"тройн." (л 5)	"группы" (л. 31)	"смешан." (n 9)	рованыме трип- леты (n=9)
V <sub>0</sub> >, #M/C	4590-1-440	1750±460	5290±380	4050±830	750±120
(R), nac	66±11	20±4	98-1-7	75±22	38+8
$(\Delta V^2)^{-1}$ , RW c	144 <u>+</u> 13	55-+7	133+13	171 ± 38	44-±8
( Lip . 1010 Lo	5.02±0.49	1.22+0.27	3.05+0.27	1,80+0.36	0.18+0.04
(1.1.10	65.6+13.4	56.3+98.3	268.6+92.0	285.5+97.7	194.3+59.8

Среднее значение /, для реальных триплетов близко к таковому для «истинно» тройных моделированных систем, но значительно выше, чем известные индивидуальные оценки у галактик.

Таким образом, сопоставление различных средних параметров, представленных в табл. 3, показывает, что в списке [1] содержатся физические тройные системы, верхушки» групп, а также смесь членов разных систем газактик.

Введем теперь ограничение по  $f_{\rm c}$  исключив из всех выборок триплеты с f>100. Эти даниме представлены в табл. 4. Видио, что глубина выборки, средний характерный размер, а также средняя светимость как моделированных, так и каталожных триплетов практически не изменились. Уменьшилось значение среднеквадратичной пекулярной скорости и — существенно — значение  $f_{\rm c}$ , очевидно, из-за исключения ложимх триплетов. Среднее значение отношения массы к светимости  $f_{\rm c}=27.8\pm4.3$  близко к оценкам f для двух компактимх групп, полученным Роузом и Грахемом в [13], а также к лиачению f для группы NGC 1023, полученному Тулли [14].

Отметим, что энстинно- тройные моделированные триплеты в новой выборке уже составляют 20% (4/20).

Средние параметры каталожных триплетов хорошо соответствуют средним по модели.

Таблица Ф СРЕДНИЕ ПАРАМЕТРЫ КАТАЛОЖНЫХ И МОДЕЛИРОВАННЫХ ТРИПЛЕТОВ ГАЛАКТИК (/ < 100 /- )

	Триплеты на [1]	Моделиро	Моделирован-		
Параметр	"кателожные" (л 31)	"тройн." (n 4)	"группы" (п. 14)	"смешан" (л 2)	рошанима трип- лоты (л — 3)
(V <sub>0</sub> ), кы с	5000±420	2010+500	5870±730	1580±20	930±250
R , kne	55+9	19±5	74·+7	45+3	40+15
1 5 V2 . Rue	96+8	50±5	82±10	22+2	17±4
LTP , 1010 L.	5.13+0.52	1.47±0.15	3.80±0.50	0.92+0.87	0.23+0.08
1.1.10	27.8-4.3	11_23.7	51.0±7.0	27.7+4.9	25.4±8.5

Возникает вопрос, насколько эти параметры отражают свойства реальных физических тройных систем. Можно образовать еще одну выборку триплетов, задав условие, чтобы в составе моделированных триплетов, прошедших критерий изолированности, по крайней мере половину составляли истинно» тройные. При этом условие обрезания выборок по / будет / < 30. Результаты приведены в табл. 5.

Таблица 5 СРЕДНИЕ ХАРАКТЕРИСТИКИ КАТАЛОЖНЫХ И МОДЕЛИРОВАННЫХ ТРИПЛЕТОВ ( $f < 30 \, f_\odot$ )

	Каталожиме триплеты				Моделирован-	
Парометр	(n = 14)	"тройн." (n 4)	"группы" (n=3)	ememon."	леты (л 1) рованиме трип-	
( Vo	4930±610	2010+500	6520±1900	1850	1430	
(R , ane	43+4	19-1-5	63±16	54	11	
( 1 V; 1 , Krefe	64±7	50±5	49-1-9	13	25	
L., . 1019L.	4.6±0.7	1.47+0.15	5.90±1.04	1.69	0.38	
1,1,13	6.8+4 0	11.2+3.7	9.0+4.2	3.4	6.7	

 $N_3$  41 тройной системы списка [1] осталось 14 (т. е. 34%). Они имею нормальное среднее значение  $f_e = 6.8 \pm 4.0$ , соответствующее инливидуальным оценкам f для галактик.

По-видимому, параметры данной подвыборки можно считать типичными характеристиками физических триплетов.

 Обсуждение результатов. Выводы. В литературе последних лет, посвященной оценкам отношения масса—светимость для группы галактик, все большее значение приобретают работы, в которых различными способами проводится корректный учет фоновых галактик, а оценки видимых велччин и лучевых скоростей делаются с максимально возможной точностью. Отметим уже упоминавшиеся работы [13, 14].

Однако при попытке составления любого обширного и однородного списка групп трудности, связанные с исключением фоновых галактик, существенно возрастают. Сложно подобрать критерий, который одинаково хорошо «работал» бы в областях с различной плотностью галактик.

Так, при составлении каталога групп [15] Тарнер и Готт выделяли области с поверхностной плотностью галактик, в 10 раза превышающей среднюю. Дальний фои (галактики слабее  $14^m0$ ) ими не учитывался. Средняя оценка отношения массы к светимости для всех групп Тарнера и Готта составила  $140\, {\rm M}_{\odot}/L_{\odot}$ , а для малонаселенных — 65. При этом сами авторы отмечают сильную засоренность их групп объектами переднего и дальнего фона.

В каталоге [15] оказалась 21 группа, состоящая из трех членов с т. 14.0, из них общих с нашим списком [1] — только 4. Оценки различиих параметров групп делались [16], если имелись измеренные лучевые скорости хотя бы для двух галактик. Таких троиных систем оказалось всего 8. причем для 6 из них оценки выполнены по двум лучевым скоростям. Ясно, что атот материал не может быть предметом детального обсуждения и сравнения.

В нашей работе [1] критерий в некоторой мере учитывал фоновые объекты: значимыми соседями компонентов триплета с угловыми размерами  $a_t$  считались галактики. имеющие угловые размеры в интервале  $(0.5 \div 2.0)~a_t$ , а контраст плотности над общим фоном был задан  $\sim 10$ .

При этих условиях в состав триплетов вошло менее 1% галактих северного неба с видимыми величинами м. 15.7, что говорит о малой распространенности атих систем.

Отсев части ложных триплетов стал возможный после выполнения программы измерения лучевых скоростей [2]. Триплеты, которые по разлостям лучевых скоростей мы посчитали оптическими, имеют «формальную» оценку  $f \approx 10^4$ . В системах \*2+1» формальное применение теорены о вириале для трех компонентов дает также очень высокое гначение,  $f \sim 3 \cdot 10^4$ , в то время как для «пар» опо равно  $5.7 \pm 3.5$ , что соответствует типичному значению для двойных галактик [12].

Повтому на данном этапе исключение этих 23-х систем из числа физических триплетов представляется оправданным, тем более, что оно подтверждается результатами моделирования.

Гораздо сложнее интерпретировать данные, полученные для предполагаемых физических триплетов (n=41) со средним значением ( $f_{\epsilon}$ ) =  $-65.6\pm13.4$ 

Анализ аффективности применявшегося критерия, а также оценку возможного вклада в список [1] не физических триплетов можно было провести лишь используя результаты моделирования [10]. Они показали следующее.

- 1. Исходный список триплетов [1], несмотря на определенную жесткость критерия и на исключение фоновых галактик, оказался засоренным триплетами фрагментами групп галактик, а также ложными триплетами, состоящими из членов разных систем.
- 2. С увеличением в выборке истипно тройных систем уменьшается средний характерный размер триплета, среднеквадратичная пекулярная скорость и среднее значение отношения вириальной массы к светимости. Глубина выборки триплетов в списке [1] соответствует 5000 км/с и практически не меняется с отсевом ложных триплетов.
- 3. Можно считать, что физические триплеты характеризуются следующими параметрами: среднее гармоническое расстояние между компонентами в проекции  $\langle R \rangle = 50$  кпс. среднеквадратичная пскулярнам скорость  $\Delta V_s^{**} = 70$  км/с, среднее отношение вириальной массы к светимости  $f_s = 10 f_{\odot}$ , средняя светимость триплета  $L = 5 \cdot 10^{10} L_{\odot}$ .
- 4. Завышенное значение L у каталожных триплетов по сравнению с истинными моделированными триплетами может быть объяснено так: либо большинство тройных систем списка [1] это ярчайшие верхушки групп (см. соответствующие столбцы табл. 3—5), либо это отражает особенности происхождения тройных систем.

В заключение необходимо отметить, что в данной работе представлен один из вариантов интерпретации наблюдательных данных. Динамическая ситуация в тройных системах существенно сложнее, чем, например, в двойных галактиках либо в скоплениях. Аналитический учет различных аффектов селекции здесь крайне сложен.

Часть изученных нами систем может быть нестабильной из-за незамкнутого характера орбит в конфигурациях тройных галактик. Тогда применение теоремы о вириале для определения отношения масса—светимость становится спорным.

Подчеркивая в настоящей статье важность и трудность получения чистой выборки, в следующих работах мы предполагаем рассмотреть морфологические, спектральные и другие характеристики изучениых триплетов, поскольку динамические соображения не могут быть единственными при выделении реальных тройных систем.

Специальная астрофизическая обсерватория АН СССР

## ISOLATED TRIPLETS OF GALAXIES. VIRIAL MASS-TO-LIGHT RATIOS

### V. E. KARACHENTSEVA, I. D. KARACHENTSEV

For 41 triplets of galaxies with measured radial velocities of each component the velocity dispersion, linear dimension, integral luminosity, virial mass, and mass-to-luminosity ratio are presented. Similar values are determined for a sample of simulated triplets which have been constructed by application of the same triple system isolation criterion to apparent distribution of galaxies with m. 15"7, using the computer Monte-Carlo method. A comparison of these two samples have revealed unexpectedly a high number of spurious triplets, namely, bright members of a group or members of different systems of galaxies, whose dimension, velocity dispersion, and virial mass are close to the correspondent parameters of real triplets from the list [1]. The problem of distinguishing the physical and optical triple systems of galaxies is discussed. Some selection effects are noted which bias apparent characteristics of the triplets. After elimination of spurious triple systems of galaxies the rest of the suspected physical triplets have the following mean parameters: linear dimension ~50 kpc, peculiar velocity of a member ~ 70 km/sec, integral luminosity ~ 5.1010 L., and virial massto-luminosity ratio ~ 10/ ..

### **ЛИТЕРАТУРА**

- 1 B. E. Kapanenyego, H. A. Kapanenyeg, A. A. Ulegbanoberua, Han. CAO All CCCP (Астрофия неслед.), 11, 3, 1979
- 2. И. Д. Караченцев, В. Е. Караченцева. Астрофизика, 17, 5, 1981
- 3. G. de Vaucouleurs, A. de Vaucouleurs, H. G. Cormin, Jr. Second Reference Catalogue of Bright Galaxies, Univ. of Texas Press, 1976.
- 4. И. Л. Караченуев, В. Л. В. Сармент, Б. Циммеричн. Астрофичня 15, 25, 1979
- 5. V. C. Rubin, W. Kent Ford. Jr., N. Thonnard, M. Roberts, J. A. Graham, A. J., 81, 687, 1976.
- 6. G. de Vaucouleurs, A. de Vaucouleurs, / L. Nieto, A. 1., 84, 1811, 1979.
- 7. 1. Huchra, Catalogue of Radial Velocities, (частное сообщение)
- 8. J. R. Figher, R. B. Tully, Astron. Astrophys., 44, 151, 1975.
- 9. D. N. Limber, W. G. Mathews, Ap. J., 132, 280, 1960.
- 10. И. Д. Караченуев, А. А. Шербанавский, Сообщ. САО АН СССР, 24, 45, 1979.
- 11. В. Е. Караченцева, Астрон. ж., 57, 1153, 1980.
- 12. Н. Д. Караченцев, Астрофизика, 16, 217, 1980.
- 13. J. A. Rose, J. A. Graham, Ap. J., 231, 320, 1970.
- 14. R. B. Tully, Ap. J., 237, 390, 1980.
- 15. E. L. Turner, J. R. Gott, Ap. J. Suppl. ser., 32, 409, 1976.
- 16. J R. Gott, E. L. Turner, Ap. |.. 213, 309, 1977.